

СПЕКТРОФОТОМЕТРИЧЕСКИЙ АНАЛИЗ СМЕСЕЙ ВЕЩЕСТВ С СИЛЬНО ПЕРЕКРЫВАЮЩИМИСЯ СПЕКТРАМИ С ИСПОЛЬЗОВАНИЕМ ПОЛИНОМИАЛЬНОЙ АППРОКСИМАЦИИ И НЕЛИНЕЙНОГО ПРЕОБРАЗОВАНИЯ ОСИ ДЛИН ВОЛН

© 1995 г. А. В. Гармаш, О. Н. Воробьева, А. В. Кудрявцев

Московский государственный университет им. М.В. Ломоносова
119899 Москва, Воробьевы горы

Поступила в редакцию 19.01.93 г.

Большинство методов спектрофотометрического анализа многокомпонентных смесей основано на решении системы линейных уравнений вида

$$y_i = \sum_{j=1}^m S_{ij} c_j \quad i = 1, 2, \dots, n \geq m. \quad (1)$$

Здесь $(y_1, \dots, y_i, \dots, y_n)$ – вектор-столбец аналитических сигналов (индекс i обозначает аналитическую позицию), $(c_1, \dots, c_j, \dots, c_m)$ – вектор-столбец концентраций компонентов (индекс j обозначает номер компонента), а

$$\begin{pmatrix} S_{11} & \dots & S_{1j} & \dots & S_{1m} \\ \vdots & & \vdots & & \vdots \\ S_{i1} & \dots & S_{ij} & \dots & S_{im} \\ \vdots & & \vdots & & \vdots \\ S_{n1} & \dots & S_{nj} & \dots & S_{nm} \end{pmatrix}$$

матрица коэффициентов чувствительности. При $n > m$ (переопределенная система) для нахождения значений c_j применяют метод наименьших квадратов. В простейшем случае (метод Фирордта [1]) величины y_i представляют собой оптические плотности анализируемой смеси при длинах волн λ_i , а S_{ij} – коэффициенты поглощения компонентов при тех же длинах волн. В последнее время получил распространение ряд методов [1 - 16], использующих аппроксимацию спектров поглощения компонентов суммой ортогональных полиномов вида

$$\varepsilon_j(\lambda) = \sum_{i=1}^n a_{ij} P_i(\lambda), \quad (2)$$

где $\varepsilon_j(\lambda)$ – коэффициент поглощения j -го компонента при длине волны λ , $P_i(\lambda)$ – ортогональный полином заданного вида от λ степени $i-1$, a_{ij} – коэффициент. Спектр поглощения анализируемой

смеси также аппроксимируют суммой ортогональных полиномов

$$A(\lambda) = \sum_{i=1}^n b_i P_i(\lambda). \quad (3)$$

В этом случае в качестве вектора аналитических сигналов можно использовать вектор коэффициентов b_i , а в качестве матрицы коэффициентов чувствительности – матрицу коэффициентов a_{ij} . Простейшими разновидностями методов, использующих ортогональную аппроксимацию, являются методы Дейли–Ефимовой–Марковича (ДЕМ) [3 - 7] и Эштона–Тутилла (ЭТ) [8 - 10]. Они применимы в тех случаях, когда спектр поглощения одного из компонентов (для определенности будем считать, что для этого компонента $j = 1$) аппроксимируется суммой полиномов более высоких степеней, чем спектры остальных, примесных

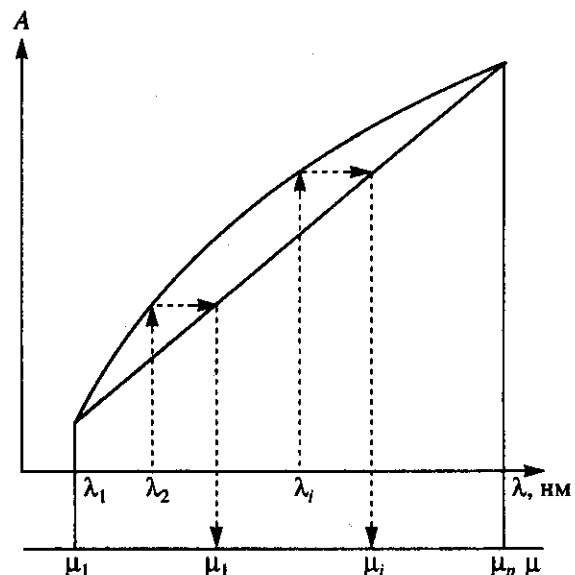


Рис. 1. Преобразование оси длин волн для приведения спектра поглощения к линейному виду.

компонентов (т.е. существует такое $k < n$, что для любого $j > 1$ и $l > k$ все $a_{lj} = 0$ и при этом $a_{nl} \neq 0$). В этом случае значение c_1 можно рассчитать как

$$c_1 = \frac{b_l}{a_{ll}} \quad (4)$$

для любого $l > k$, при котором $a_{ll} \neq 0$ (метод ДЕМ), либо как

$$c_1 = \frac{\sum_{l=k+1}^n b_l P_l(\lambda)}{\sum_{l=k+1}^n a_{ll} P_l(\lambda)} \quad (5)$$

(метод ЭТ). Как метод ДЕМ, так и метод ЭТ неприменимы, если спектры поглощения всех компонентов аппроксимируются полиномами одинаковой степени. Кроме того, при больших значениях k использование этих методов нецелесообразно, так как погрешности определения коэффициентов a_{ll} и b_l резко возрастают с ростом l . Поэтому как метод ДЕМ, так и метод ЭТ обычно применяют лишь при $k = 2$, т.е. в случае линейного спектра примесных компонентов [1].

В настоящей работе предложена модификация методов ДЕМ и ЭТ, основанная на приведении спектра поглощения примесных компонентов к линейному виду путем нелинейного преобразования оси длин волн. Возможности модифицированных методов продемонстрированы на примере анализа смесей красителей с близкими, сильно перекрывающимися спектрами поглощения.

ТЕОРЕТИЧЕСКАЯ ЧАСТЬ

Пусть спектр поглощения многокомпонентной смеси $A = f(\lambda)$ задан на множестве длин волн $\lambda_1 < \lambda_2 < \dots < \lambda_i < \dots < \lambda_p$. Будем рассматривать этот спектр как линейную комбинацию спектра поглощения основного (определенного) компонента с концентрацией c_1 $A_1 = f_1(\lambda) = c_1 \varepsilon_1(\lambda)$ и суммарного спектра поглощения остальных компонентов ("спектра примесей") $A_2 = f_2(\lambda)$. Функция $f_2(\lambda)$, вообще говоря, не является линейной. Однако, перейдя к новой независимой переменной μ , можно представить ее в виде линейной зависимости $A_2 = u\mu + v$. Значения переменной μ при этом рассчитываются как

$$\mu_i = \frac{A_2(\lambda_i) - v}{u}, \quad (6)$$

а параметры линейной зависимости u и v – как

$$u = \frac{A_2(\lambda_p) - A_2(\lambda_1)}{\mu_p - \mu_1}, \quad (7)$$

$$v = \frac{\mu_p A_2(\lambda_1) - \mu_1 A_2(\lambda_p)}{\mu_p - \mu_1}. \quad (8)$$

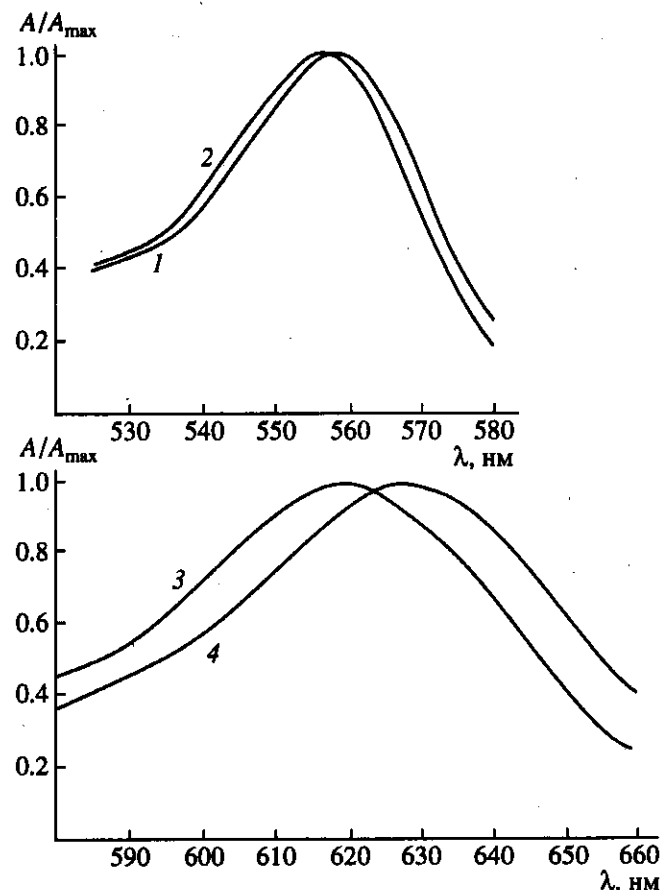


Рис. 2. Электронные спектры поглощения водных растворов красителей. 1 – Rh3B, 2 – BuRhC, 3 – MG, 4 – BG. Спектры нормированы к величине оптической плотности в максимуме светопоглощения.

Значения μ_1 и μ_p можно выбрать произвольно – например, положить их равными, соответственно, -1 и $+1$ либо λ_1 и λ_p . Характер преобразования оси длин волн при переходе от переменной λ к переменной μ поясняет рис. 1.

В координатах μ - A спектр примеси описывается линейной функцией и может быть представлен в виде суммы ортогональных полиномов степени не выше 1. Если спектр основного компонента в этих же координатах является нелинейным, то после преобразования оси длин волн для определения концентрации этого компонента можно применить как метод ДЕМ, так и метод ЭТ. При этом желательно, чтобы на заданном множестве длин волн спектр примеси $A_2 = f(\lambda)$ представлял собой монотонную (возрастающую либо убывающую) функцию от λ . Если эта функция не будет монотонной, то преобразование оси длин волн по формулам (6) – (8) не будет непрерывным. Это может привести к существенному усложнению спектра основного вещества в координатах μ - A , появлению в нем большого количества чередующихся максимумов и минимумов и, в

конечном счете, сделает невозможной его адекватную аппроксимацию суммой ортогональных полиномов.

Нами разработана программа SOBIS, позволяющая рассчитывать концентрацию одного из компонентов смеси с помощью линеаризации спектра примеси описанным выше методом. Программа включает в себя отдельные блоки, выполняющие следующие действия.

1. Ввод спектров определяемого и примесного компонентов.

2. Преобразование оси длин волн по формулам (6) - (8) с целью линеаризации спектра примеси.

3. Аппроксимация спектра определяемого компонента в преобразованной системе координат суммой ортогональных полиномов. Максимальная степень полиномов может задаваться пользователем или определяться автоматически.

4. Ввод спектра анализируемой смеси, аппроксимация этого спектра в преобразованной системе координат.

5. Расчет концентрации определяемого компонента по формулам (4) и (5).

Программа написана на языке Фортран F80. Для построения системы ортогональных полиномов и аппроксимации спектров использованы алгоритмы и фрагменты программы FORSY [17]. Для автоматического выбора оптимальной степени аппроксимирующего полинома использован критерий, описанный в [1, 18 - 19].

ЭКСПЕРИМЕНТАЛЬНАЯ ЧАСТЬ

В работе были использованы красители родамин 3В (Rh3B), бутилродамин С (BuRhC), малахитовый зеленый (MG) и бриллиантовый зеленый (BG) квалификации ч. Исходные растворы этих веществ концентрации 50 - 200 мг/л готовили растворением в воде точных навесок. Рабочие растворы модельных объектов (индивидуальных красителей и их смесей) готовили разбавлением аликвот исходных растворов водой. Концентрации компонентов для модельных объектов выбирали таким образом, чтобы оптическая плотность при длине волны максимального поглощения находилась в пределах 0.2 - 0.8 (это соответствует концентрациям порядка 0.5 - 5 мкг/мл или $(1 - 10) \times 10^{-6}$ М). Соотношения массовых концентраций компонентов бинарных смесей красителей варьировали в пределах 1 : 5 - 5 : 1. Электронные спектры поглощения записывали на спектрофотометре СФ-16 в прямоугольных кварцевых кюветах с $l = 1$ см при длинах волн, кратных 5 нм, в диапазонах 525 - 580 нм (Rh3B, BuRhC) и 580 - 660 нм (MG, BG). Для уменьшения случайной погрешности измерения проводили при чувствительности 1, а также использовали один и тот же фотоэлемент (сурьмяно-цезиевый) для всех рабочих длин волн. Для каждой изучаемой системы проводили не менее трех параллельных измерений. При этом каждое измерение проводили для раствора, приготовленного заново.

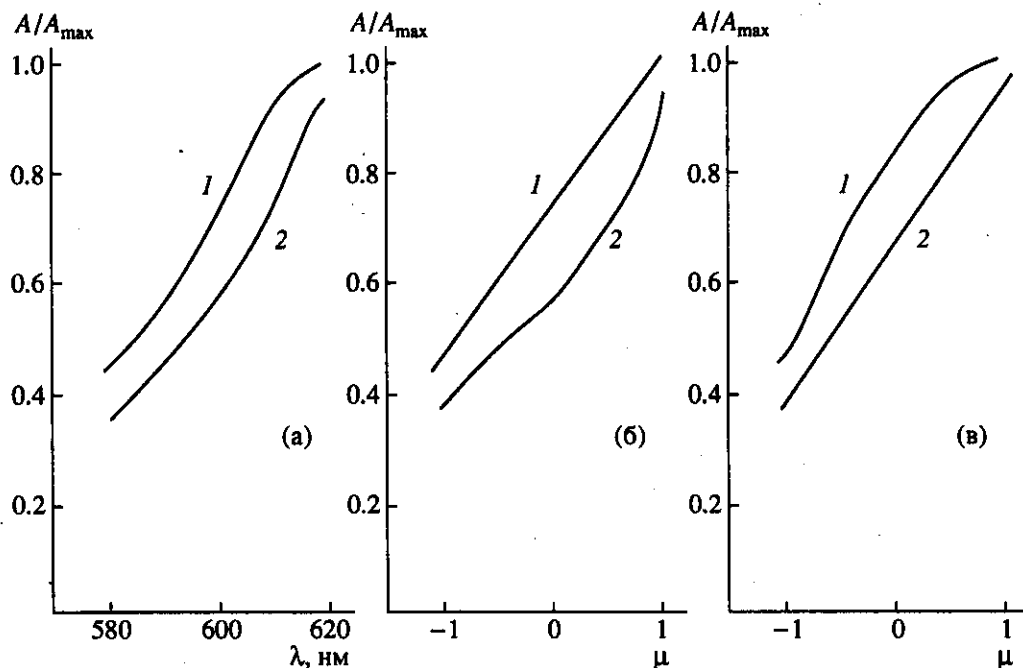


Рис. 3. Исходные (а) и преобразованные (б, в) спектры поглощения MG (1) и BG (2). Преобразование выполнено: б - для определения BG, в - для определения MG.

РЕЗУЛЬТАТЫ И ИХ ОБСУЖДЕНИЕ

В работе исследованы пары красителей Rh3B-BuRhC и MG-BG. Для каждой из этих пар спектры компонентов (рис. 2) сильно перекрываются (значения $\Delta\lambda_{\text{max}}$ в обоих случаях составляют 3 - 7 нм). Для анализа таких систем была изучена возможность использования метода Фирордта и методов ДЕМ и ЭТ как в исходном, так и в предложенном варианте (линеаризация спектра одного из компонентов путем предварительного преобразования оси длин волн).

Метод Фирордта. Использовали варианты этого метода как с определенной (число аналитических позиций $n = 2$), так и с переопределенной ($n = 3 - 10$) системой линейных уравнений. При выборе оптимальных аналитических позиций руководствовались критериями, описанными в [1, 20]. Ни в одном из вариантов анализа с использованием метода Фирордта величина s_r не была меньше, чем 0.4. Таким образом, метод Фирордта для анализа систем со столь сильно перекрывающимися спектрами непригоден.

Методы ДЕМ и ЭТ. При большом (8 - 15) числе аналитических позиций спектры компонентов удовлетворительно аппроксимируются лишь полиномиальными суммами достаточно высоких степеней (5 - 8). Вследствие этого величины s_r , концентраций компонентов, рассчитанных при этих условиях методами ДЕМ и ЭТ, оказывались равными 0.5 и выше. При меньшем числе аналитических позиций спектры обоих компонентов каждой из пар аппроксимируются полиномами

одинаковых степеней, что не позволяет использовать методы ДЕМ и ЭТ. Таким образом, указанные методы в данном случае также непригодны.

Методы ДЕМ и ЭТ с линеаризацией спектра одного из компонентов. В качестве рабочих областей были выбраны области длин волн, в которых спектр хотя бы одного из компонентов смесей является монотонным: 580 - 625 нм и 620 - 660 нм для системы MG-BG и 525 - 560 нм для системы Rh3B-BuRhC (участок 555 - 580 нм для этой системы не использовали, так как при этих длинах волн спектры компонентов заметно искажаются из-за флуоресценции). Для выбранной области проводили преобразование оси длин волн с целью линеаризации спектра компонента, не подлежащего определению. В качестве примера на рис. 3 приведены исходные и преобразованные спектры MG и BG. Как видно из этого рисунка, при подходящем выборе рабочей области длин волн возможно из одних и тех же спектральных данных определять концентрации обоих компонентов, используя два различных преобразования. В преобразованной системе координат спектры поглощения определяемого компонента, а также анализируемой смеси в целом, для всех изученных систем удовлетворительно аппроксимировались полиномиальными суммами 2 - 4 степени. Для расчетов концентраций определяемого компонента по методу ДЕМ использовали коэффициенты при ортогональных полиномах второй степени.

Результаты анализа модельных смесей красителей приведены в табл. 1 и 2.

Таблица 1. Определение родамина 3B (Rh3B) и бутилродамина C (BuRhC) в их смесях. $n = 3, P = 0.95$

Введено, мкг		Найдено методом ДЕМ, мкг				Найдено методом ЭТ, мкг			
Rh3B	BuRhC	Rh3B	s_r	BuRhC	s_r	Rh3B	s_r	BuRhC	s_r
80.0	78.6	81 ± 12	0.06	78 ± 9	0.05	78 ± 8	0.04	79 ± 6	0.03
106.8	110.0	103 ± 8	0.03	114 ± 4	0.01	100 ± 7	0.03	111 ± 6	0.02
53.4	78.6	52 ± 6	0.05	75 ± 14	0.08	51 ± 8	0.07	76 ± 15	0.08
53.4	110.0	54 ± 3	0.03	103 ± 7	0.03	56 ± 6	0.04	104 ± 10	0.04

Таблица 2. Определение малахитового зеленого (MG) и бриллиантового зеленого (BG) в их смесях. $n = 3, P = 0.95$

Введено, мкг		Найдено методом ДЕМ, мкг				Найдено методом ЭТ, мкг			
MG	BG	MG	s_r	BG	s_r	MG	s_r	BG	s_r
54.5	48.0	54 ± 3	0.02	46 ± 3	0.03	55 ± 4	0.03	44 ± 5	0.04
54.5	96.0	54 ± 4	0.03	99 ± 7	0.03	57 ± 2	0.02	103 ± 11	0.04
54.5	144.0	57 ± 9	0.06	149 ± 12	0.03	52 ± 3	0.02	55 ± 1	0.01
109.0	48.0	114 ± 6	0.02	44 ± 5	0.05	110 ± 11	0.04	46 ± 3	0.02
163.5	48.0	157 ± 16	0.04	51 ± 4	0.03	152 ± 16	0.04	50 ± 6	0.05
218.0	48.0	216 ± 13	0.03	49 ± 6	0.05	213 ± 8	0.02	49 ± 4	0.03

Таким образом, предварительное нелинейное преобразование оси длин волн существенно расширяет возможности известных спектрофотометрических методов анализа многокомпонентных смесей – в частности, в случае сильного перекрытия спектров поглощения компонентов.

ВЫВОДЫ

Предложен метод спектрофотометрического анализа многокомпонентных смесей, включающий нелинейное преобразование оси длин волн с целью приведения спектра поглощения одного из компонентов к линейному виду и последующую аппроксимацию спектров поглощения определяемого компонента и анализируемой смеси суммой ортогональных полиномов. Для реализации предложенного метода анализа разработана программа на языке Фортран F80. Метод применен к анализу бинарных смесей красителей с сильно перекрывающимися спектрами поглощения в соизмеримых концентрациях.

СПИСОК ЛИТЕРАТУРЫ

1. Берштейн И.Я., Каминский Ю.Л. Спектрофотометрический анализ в органической химии. Изд. 2-е. Л.: Химия, 1986. 199 с.
2. Daly C. // Analyst. 1961. V. 86. № 2. P. 129.
3. Ефимова Г.В., Маркович А.В. // Тр. Лен. НИИ антибиотиков. 1963. Т. 3. С. 82.
4. Ефимова Г.В., Маркович А.В. // Вопросы мед. химии. 1963. Т. 9. № 4. С. 429.
5. Glenn A.L. // J. Pharm. Pharmacol. 1963. V. 15 (Suppl.). P. 123T.
6. Wahbi A.M. // Pharmazie. 1971. V. 26. № 5. P. 291.
7. Wahbi A.M., Ebel S., Steffens U. // Fres. Z. anal. Chem. 1975. Bd. 273. № 3. S. 183.
8. Ashton G.C., Tootill J.R.T. // Analyst. 1956. V. 81. № 961. P. 232.
9. Берштейн И.Я. // Антибиотики. 1980. № 6. С. 444.
10. Лупашевская Д.П., Берштейн И.Я. Количественный спектрофотометрический анализ вещества в присутствии примеси. М.: ЦБНТИ Медпром, 1978. 42 с.
11. Wahbi A.M., Ebel S. // J. Pharm. Pharmacol. 1974. V. 26. № 5. P. 317.
12. Wahbi A.M., Ebel S. // J. Pharm. Pharmacol. 1974. V. 26. № 12. P. 968.
13. Wahbi A.M., Ebel S. // Fres. Z. anal. Chem. 1974. Bd. 270. № 4. S. 282.
14. El-Yazbi F.A., Korany M.A. // Spectroscopy Letters. 1985. V. 18. № 7. P. 543.
15. Korany M.A., Bedair M.A., El-Yazbi F.A. // Analyst. 1986. V. 111. № 1. P. 41.
16. Korany M.A., Elsayed M.A.-H., Bedair M., Mahgoub H. // Anal. Letters. 1990. V. 23. № 3. P. 507.
17. Джонсон К. Численные методы в химии. М.: Мир, 1983. 503 с.
18. Себер Д. Линейный регрессионный анализ. М.: Мир, 1980. 456 с.
19. Айвазян С.А., Енюков И.С., Мешалкин Л.Д. Прикладная статистика. Исследование зависимостей. М.: Финансы и статистика, 1985. 487 с.
20. Перъков И.Г. // Журн. аналит. химии. 1991. Т. 46. № 10. С. 2069.

Spectrophotometric Analysis of Mixtures of Substances with Strongly Overlapped Spectra by Polynomial Approximation and Nonlinear Transformation of the Wavelength Axis

A. V. Garmash, O. N. Vorob'eva, and A. V. Kudryavtsev

Lomonosov Moscow State University, Moscow, 119899 Russia

A method of spectrophotometric analysis of multicomponent mixtures was proposed. This method includes a nonlinear transformation of the wavelength axis to linearize the absorption spectrum of one component and a subsequent approximation of the absorption spectra of the test component and mixture by a sum of orthogonal polynomials. The method was implemented in a FORTRAN F80 program and applied to the analysis of binary mixtures of dyes with strongly overlapping absorption spectra with comparable concentrations.